

## § 4 Constrained shortest paths

### 4.1 Komplexität

4.1 PROPOS. Das CSP ist schwer NP-vollständig

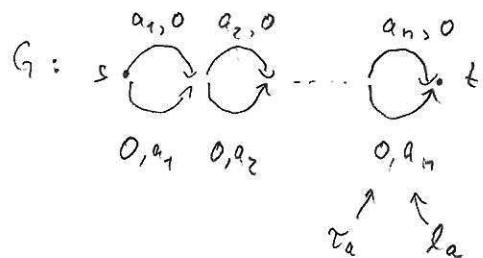
Beweis: Reduktion von PARTITION:

Geg. Zahlen  $a_1, \dots, a_n$  mit  $\sum a_i = 2b$

Frage: Gibt es Indexmenge  $I$  mit  $\sum_{i \in I} a_i = b$  ?

Sei  $I$  Instanz von PARTITION.

Konstruiere daraus Instanz  $I'$  von CSP:



Frage: Gibt es  $s, t$  Wog  $P$  mit  $\tau(P) \leq b$ ,  $\ell(P) \leq b$

Offenbar ist die Antwort auf diese Frage ja

$\Leftrightarrow \exists$  Indexmenge  $I$  mit  $\sum_{i \in I} a_i = b$   $\square$

4.2 PROPOSITION: CSP kann in pseudopolynomialer Zeit gelöst werden.

Beweis: analog zu SUBSET SUM (Verallgemeinerung von PARTITION) aus ADH I  $\square$

## 4.2 Lösungsways

- 1) Beasley & Christofides 89 Branch & Bound + Lagrange Relaxation
- 2) Labeling Algorithmus (erweiterter Dijkstra)  
Verwandtschaft zu Pareto-optimalen Wegen
- 3) Geometrisch (Kehlmann + Ziegelmann 2000) → § 4.4

### 4.2.1 Der Ansatz von Beasley & Christofides

Branch & Bound Baum ≈ wie bei Telekommunikationsproblem aus ADH II alt  
 ≈ IP-Formulierung Festlegen von Kanten

Lagrange Relaxation:

$$\min \tau(P)$$

$$\text{so dass } l(P) \leq L$$

P ist Weg von s nach t

in Zielfkt

$$(LR\mu) \quad \underbrace{\min \tau(P) + \mu(l(P) - L)}_{=: \Lambda(\mu), \mu \in \mathbb{R}^+_0}$$

$$\sum_{a \in P} (\tau_a + \mu l_a) - \mu L$$

Konstant für festes  $\mu$



Kürzester Weg engl.: new Kantenbewertung  $\tau_a + \mu l_a$

Sei  $P^*$  opt. Lösung des CSP und  $\tau^* := \tau(P^*)$

Dann gilt (1)  $\Delta(\mu) \leq \tau^* \quad \forall \mu \geq 0$

$$(2) \Delta^* := \max_{\mu \geq 0} \Delta(\mu) \leq \tau^*$$

Aufgabe 6: Ist  $P$  eine Optimallösung von  $(LR_\mu)$   
und  $\ell(P) \leq L$   $\stackrel{?}{\Rightarrow} P$  opt für CSPD

$\tau^* - \Delta^*$  heißt Dualitätslücke (gap) Aufgabe 7 | i.A ist  $gap > 0$

Subgradientenverfahren analog zu ADM II, § 7.4

Ist  $P_{\mu_0}$  kürzester Weg in  $(LR_{\mu_0})$ , so ist  $\ell(P_{\mu_0}) - L$  (verletzte Restr.) ein Subgradient in  $\mu_0$  von  $\Delta(\mu)$

Geh Schritt in diese Richtung

$$\mu^{\text{neu}} = \mu^{\text{alt}} + \Theta(\ell(P_{\mu_0}) - L)$$



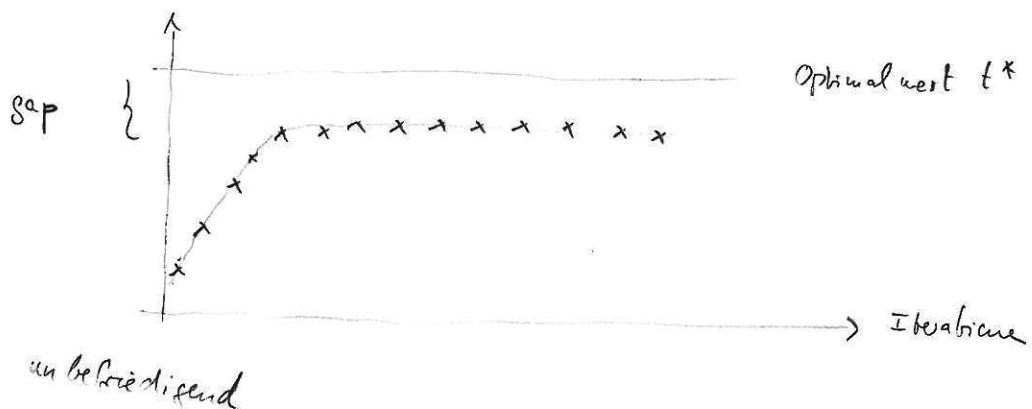
neue Kantenbewertung

$$\tau_a + \mu^{\text{neu}} l_a$$

Unterschiede in Kantenbewertung gerade  $(\mu^{\text{neu}} - \mu^{\text{alt}}) l_a$

↗  
dieselbe Zahl für alle Kanten

typischer Verlauf



#### 4.2.2 Pareto-optimale Wege

Ges.  $G = (V, A)$   $s, t \in V$

Für jede Kante  $a$  ein  $r$ -dim. Bewertungsvektor  $\lambda(a) = \begin{pmatrix} \lambda_1(a) \\ \vdots \\ \lambda_r(a) \end{pmatrix} \geq 0$

Länge  $\lambda(P)$  eines Weges  $P$  ist

$$\lambda(P) = \sum_{a \in P} \lambda(a) = \begin{pmatrix} \sum_{a \in P} \lambda_1(a) \\ \vdots \\ \sum_{a \in P} \lambda_r(a) \end{pmatrix} =: \begin{pmatrix} \lambda_1(P) \\ \vdots \\ \lambda_r(P) \end{pmatrix}$$

hier unterschiedliche Möglichkeiten möglich  
 $\Sigma, \max, \min \dots$

[allgemein: Seminorme]

Gesucht: Alle Pareto-optimalen  $s, t$  Wege



$P$  heißt Pareto-optimal

$\Leftrightarrow \nexists$  Weg  $P'$  mit  $\lambda(P') \leq \lambda(P)$  und  $\lambda_i(P') < \lambda_i(P)$  für ein  $i$

(keine Dominanz)

Komponentenweise Ordnung

Anwendungen: Autoweltl. 1: Zeit, Entfernung, verbrauchte Strecken als Kriterien  
 Bahn Zeit, Kosten, # Umstiege

Der Dijkstras Algorithmus für Pareto-optimale Wege

zunächst Wh: Dijkstra für kürzeste Wege ( $\lambda_a \geq 0$ )

- berechnet für jeden Knoten  $v$  eine Distanz  $d[v]$   
 $\hat{=}$  Länge kürzester Weg von  $s$  zu  $v$   
 + einen Knoten  $Vergaenge[v]$ , der Vergaenge von  $v$  auf kürzestem Weg von  $s$  zu  $v$  ist
- Wege  $d[v]$ ,  $Vergaenge[v]$  sind zunächst verlauffig  
 Im Lauf des Algorithmus werden Knoten markiert, für markierte Knoten sind diese Werte eingeschränkt

Initialisierung:

$$d[v] := \begin{cases} 0 & v = s \\ \lambda(s, v) & \text{falls Kante } (s, v) \text{ exist.} \\ \infty & \text{sonst} \end{cases}$$

$$Vergaenge[v] := \begin{cases} s & \text{falls Kante } (s, v) \text{ exist.} \\ \infty & \text{sonst} \end{cases}$$

nun  $s$  markiert

Hauptdurchlauf

while  $\exists$  unmarkierten Knoten do

wähle unmarkierten Knoten  $v$  mit kleinstem  $d[v]$   
markiere  $v$

for alle Kanten  $(v,w)$  mit unmarkiertem  $w$  do

if  $d[v] + \lambda_{(v,w)} < d[w]$  then

$$d[w] := d[v] + \lambda_{(v,w)}$$

$$\text{Vergänges}[w] := v$$

end if

end for

end while

Variation des Dijkstras für Pareto-optimale Wege [Theorie 95]

statt  $d[v]$   $\rightarrow$  dim Vektoren  $d[v] = \begin{pmatrix} d_1[v] \\ \vdots \\ d_k[v] \end{pmatrix}$   $d_k[v]$  bzgl  $\lambda_k$

In jedem Knoten erhöhe  $d[v]$  möglich,

$\Rightarrow$  bisher ermittelten Pareto-optimale  $s,v$ -Wege

Initialisierung

$$d[v] := \begin{cases} \begin{pmatrix} 0 \\ \vdots \\ 0 \end{pmatrix} & \text{falls } v = s \\ \lambda_{(s,v)} & \text{falls } (sv) \text{ Kante} \\ \begin{pmatrix} \infty \\ \vdots \\ \infty \end{pmatrix} & \text{sonst} \end{cases}$$

Markierung Knoten  $\rightarrow$  Markierung von Vektoren  $d[v]$

Regel: Wähle lexikographisch kleinster unmarkierter Vektor  $d[v]$  als nächstes zu markierenden Vektor

Aktualisierung des  $d[w]$ :

Bei Radiale zu gewählten  $d[v]$  alle Kanten  $(v, w)$   
 nehme  $d[v] + \lambda_{(v,w)}$  zu den Bereichs in  $w$   
 abgespeicherten Vektoren hinzu und schreibe nicht Pareto-optimale  
 und aktualisiere ggf. Vorgänger( $d[w]$ )  
 Anfangs  $v = d[s]$  markiert

Hauptschleife

while  $\exists$  unmarkierten Vektor do

wähle lexikographisch kleinsten unmarkierten Vektor  $d[v]$   
 markiere diesen Vektor

Sei  $v$  der zugehörige Knoten

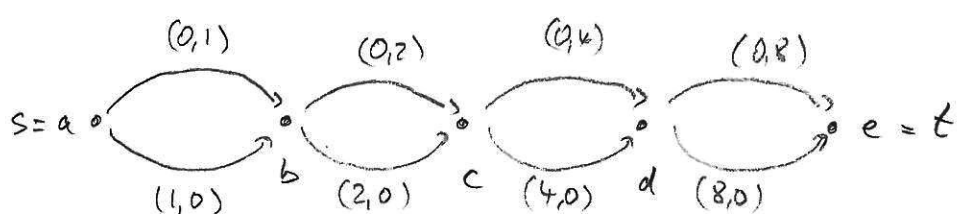
für alle Kanten  $(v, w)$  do

nehme  $d[w] := d[v] + \lambda_{(v,w)}^{(w)}$  den Vektoren von  $w$  hinzu;

schreibe nicht Pareto-optimale bei  $w$ ;

falls  $d[w]$  nicht gestrichen wird, so setze  $Vergänger(d[w]) := d[v]$

Beispiel:



## Pareto Optima:

a	b	c	d	e
(0,0)	(0,1)	(0,3)	(0,7)	(0,15)
	(1,0)	(2,1)	(4,3)	(8,7)
		(1,2)	(1,6)	(1,14)
		(3,0)	(5,2)	(9,6)
			(2,5)	(2,13)
			(6,1)	(10,5)
			(3,4)	(3,12)
			(7,0)	(11,4)
				(4,11)
				(12,3)
				(5,10)
				(13,2)
				(6,9)
				(14,1)
				(7,8)
				(15,0)

$2^0 \quad 2^1 \quad 2^2 \quad 2^3 \quad 2^4$

A parabolisches Wachstum  $\Rightarrow$  exponentielle Algorithmen

Korrektheit analog zu normalen Dijkstre per Induktion:

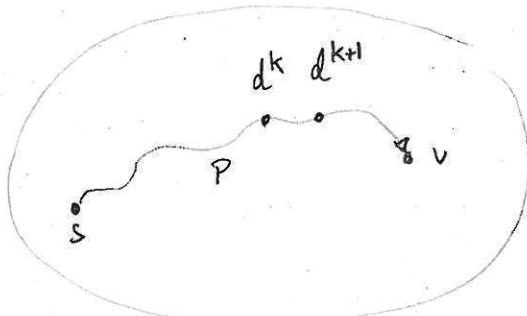
nach # Markierungen:

Sobald Vektor markiert, gehört er zu einer Menge der Pareto - Optima zum zugehörigen Knoten

Beweis: Betrachte Zeitpunkt zu dem  $d[v]$  gewählt wird

Ann.  $d[v]$  nicht Pareto-optimal in  $v$

$\Rightarrow \exists$  <sup>Pareto-opt</sup> Weg  $P$  von  $s$  nach  $v$  mit  $\lambda(P) \leq d[v]$



$P$  Pareto-optimal  $\lambda > 0$

$\Rightarrow$  Infangsstücke von  $P$  ebenfalls  
Pareto-optimal

(x)

Sind  $s = v_1, v_2, \dots, v_m = v$  die Zwischenknoten auf dem Weg  $P$

und  $d^1, d^2, \dots, d^m$  die zugehörigen Pareto-optimalen

Bewertungsvektoren, also  $d^i = d^{i-1} + \lambda_{(v_{i-1}, v_i)}$ . Dann ist  $d^m \not\leq d[v]$ .

Sei  $d^k$  der letzte Vektor der bereits markiert ist zum Zeitpunkt  
der Auswahl von  $d[v]$  (existiert, da  $d^1 = d[s]$  markiert)

$\Rightarrow k < m$ , da sonst  $d^m \not\leq d[v]$  bereits bei  $v$  markiert wäre.

$\Rightarrow$  Zum Zeitpunkt der Markierung von  $d^k$  wird  $d^{k+1} = d^k + \lambda_{(v_k, v_{k+1})}$  zu  
 $v_{k+1}$  hinzugefügt und ist Pareto-optimal <sup>wegen  $\lambda > 0$</sup>  und bleibt bis zur  
Wahl von  $d[v]$  unmarkiert (nach Wahl des Index  $k$ ).

Dann ist  $d^{k+1} \leq d^m \not\leq d[v]$

$\Rightarrow d^{k+1} <_{lex.} d[v] \Rightarrow$  Widerspruch zu Auswahlregel

$\Rightarrow$  Jeder unmarkierte Vektor ist Pareto-optimal

Analoger Beweis: jedes Pareto-optimum <sup>wird</sup> im Algorithmus konstruiert. Q

Frage: Wie groß wird die maximale Anzahl der Pareto-Optima

Annahme:  $\lambda_k(a) \in \mathbb{Z}_+$

$L_k(v) := \underbrace{\text{Maximale Weglänge (elementare Wege)}}_{\text{bis } \lambda_k} \text{ von } s \text{ nach } v$

$\text{pareto}(v) := \# \text{ Pareto Optima in } v$

$$\boxed{\text{pareto}(v) \leq \prod_{k=1}^r L_k(v)}$$

$\Rightarrow$   $\boxed{\text{pareto}(v) \text{ ist polynomial in } n, \text{ falls } \lambda_k(a) \text{ polynomial in } n}$   
 und  $r$  fest ist  $\Rightarrow$  algorithmisch polynomial

etwa:  $\lambda_k(a) \leq n \Rightarrow L_k(v) \leq (n-1)n \leq n^2 \Rightarrow \text{pareto}(v) \leq n^{2r}$

$$\lambda_k(a) \leq L_0 \Rightarrow \text{pareto}(v) \leq (L_0(n-1))^r$$

z.B. fällt in Straßennetz ( $\leq 1000 \text{ m}$ ),  $n \approx 10.000$  in Berlin

Anwendung bei CSP

[Azeja, Issarwal & Nair 1983]

$$\min \tau(P) \text{ unter } l(P) \leq L \quad P \text{ s.t. Weg}$$

$$\text{Kantenbewertung } \lambda(a) = \begin{pmatrix} \tau_a \\ l_a \end{pmatrix}$$

Pareto Dijkstra anwenden

$$\text{Vektoren } d(v) = \begin{pmatrix} \tau \\ l \end{pmatrix} \text{ verworfen, falls } l > L$$

$\Rightarrow$  liefert alle Pareto Optima mit  $l \leq L$

$\Rightarrow$  lex.-kleinstes Pareto-optimum ist Optimallösung von CSPD  
(Abbrechen falls t nun erstmal erreicht)

Praktische Erfahrung:



für mehr Schritte deutlich schlechter!

### 4.3 Approximation Pareto-optimaler Wege

#### 1. Gewichtete Summe des Kriterien (Jaffe 84)

Zulässigkeitsproblem

Gegeben:  $\begin{pmatrix} L_1 \\ \vdots \\ L_r \end{pmatrix}$  Finde Weg  $P$  mit  $\lambda(P) \leq \begin{pmatrix} L_1 \\ \vdots \\ L_r \end{pmatrix}$

} Transformation

Kürzeste Wege Problem bzgl.  $\lambda'(a) := \alpha_1 L_1(a) + \dots + \alpha_r L_r(a)$

$\uparrow \quad \uparrow$   
Gewichte, die von  $L_1, \dots, L_r$  abhängen

i.q. nur schlechte Approximation.

Bsp.  $\alpha_1 \leq \alpha_2 \Rightarrow (0, 15)$  wird berechnet im Beispiel

schlecht für  $L_1 = 7 \quad L_2 = 8$

allgemein gilt [Theorie 95]

Sei  $P^*$  Pareto optimal mit  $\lambda(P^*) \leq \begin{pmatrix} L_1 \\ \vdots \\ L_r \end{pmatrix}$

Sei  $P'$  der bzgl.  $\lambda'$  mit  $\alpha_1 = \dots = \alpha_r = 1$  berechnete kürzeste Weg

Dann ist  $\max_k \lambda(P') \leq r \cdot \max_k L_k$  (i.a. scharf)

im Bsp ist für  $\alpha_1 = \alpha_2$  der Weg  $P'$  über die oberen Kanten ein kürzester und  $\max_k \lambda(P') = 15 \leq 2 \cdot \max_k \{7, 8\}$

## 2. Einfache Skalierung des Längen [Theorie 95]

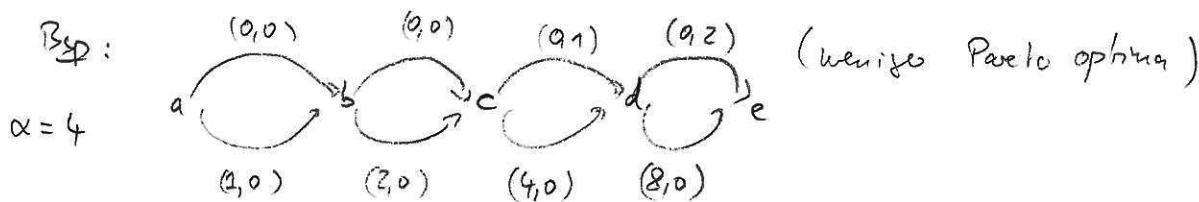
Skalene  $\lambda(a) = \begin{pmatrix} \lambda_1(a) \\ \vdots \\ \lambda_r(a) \end{pmatrix}$  auf den wenigen wichtiger Kriterien



$$\lambda'(a) = \left( \lambda_1(a), \left\lfloor \frac{\lambda_2(a)}{\alpha} \right\rfloor, \dots, \left\lfloor \frac{\lambda_r(a)}{\alpha} \right\rfloor \right)^T \quad \alpha > 1$$

$\Rightarrow \text{pareto}(v)$  wird kleiner!

Skalierung erhält Ordnung  $\Rightarrow$  Berechnete pareto-optimalen Wege bzgl  $\lambda'$  sind "natürliche" pareto-optimal bzgl.  $\lambda$

Pareto Optimal bzgl  $\lambda'$ 

a	b	c	d	e
(0,0)	(0,0)	(0,0)	(0,1)	(0,3)
(4,0)		(2,0)	(8,1)	

4,2  
(12,0)

zugehörige Pareto Optimal bzgl  $\lambda$ 

a	b	c	d	e
(0,0)	(0,1)	(0,3)	(0,7)	(0,15)
			(4,3)	(8,7)
			(4,11)	
			(12,3)	

ergibt Teilmenge  $Y$  aller Pareto Optimal  $X$

Genauer:

in pareto-opt. Weg  $P$  mit Bewertung  $d \in X$

exist Pareto-opt. Weg  $P'$  mit Bewertung  $d' \in Y$

mit  $|d_k - d'_k| \leq l(\alpha-1) \quad k = 1, \dots, r$

↑  
# Kanten von  $P'$

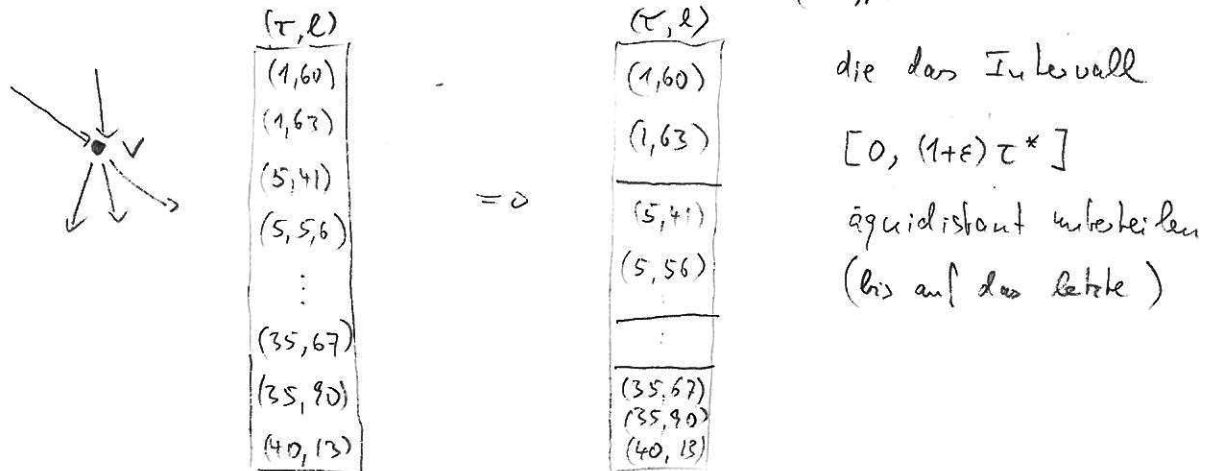
← pessimistisch  
aber i.A. scharf

$$\text{Bsp } d = (9,6) \rightsquigarrow d' = (8,7) \\ (13,2) \rightsquigarrow (12,3)$$

## 3. Ein voll-polynomiales Approximationsschreinig [Hassin 92]

Annahme: kennen den Optimalwert  $\tau^*$  eines besten Längenbeschränkten s,t Weges

Idee: legen in jedem Knoten Schubfächer der Länge  $\frac{\tau^*}{(n-1)/\varepsilon}$  für Labels an,



In Schubfach i: alle Labels von v mit  $\tau$ -Wert im Intervall

$$\left] (i-1) \cdot \frac{\tau^*}{(n-1)/\varepsilon}, i \cdot \frac{\tau^*}{(n-1)/\varepsilon} \right]$$

Algorithmus:  $\varepsilon$ -Schubfach Dijkstra

- Gebe vor wie beim allgemeinen Dijkstra Algorithmus
- Trick: gebe pro Schubfach nur ein Label weit:
  - das bzgl.  $l$ -Wert beste Label
  - runde den  $\tau$ -Wert des Labels auf die obere Grenze des Schubfaches
- Wähle am Ende den Weg mit kleinstem  $\tau$ -Wert

⇓

Gefundener Weg ist zulässig bzgl. Längenzuschranken L  
 (aber i.a. nicht optimal)

Algorithmus hat nur 1 Label pro Schubfach

$$\Rightarrow \leq (1+\varepsilon)\tau^* / \left( \frac{\tau^*}{(n-1)/\varepsilon} \right) = \frac{(1+\varepsilon)(n-1)}{\varepsilon} \text{ viele Labels pro Knoten}$$

4.3 LEMMA: Der von  $\epsilon$ -Schuf für Dijkstra gefundene Weg hat maximal einen um den Faktor  $(1+\epsilon)$  höheren  $\tau$ -Wert als der kürzeste Längenbeschränkte Weg.

ist Längenbeschränkt und

Beweis: Sei  $P_\epsilon$  der von  $\epsilon$ -Dijkstra gefundene Weg, und  $P^*$  ein optimales Weg

$P^*$  ist elementar  $\Rightarrow \leq n-1$  Kanten. Der  $\epsilon$ -Dijkstra macht bei  $P^*$

pro Kante Rundungsfehler im  $\tau$ -Wert  $\leq$  Intervall-Länge  $= \frac{\tau^*}{(n-1)/\epsilon}$

$$\Rightarrow \text{Gesamtfehler} \leq (n-1) \frac{\tau^*}{(n-1)/\epsilon} = \tau^* \cdot \epsilon \quad \text{bgl. } P^*$$

$$\Rightarrow \tau(P_\epsilon) \leq \tau(P^*) \leq \tau^* + \tau^* \cdot \epsilon = (1+\epsilon) \tau^*$$

da  $P_\epsilon$  kürzester Weg im  $\epsilon$ -Dijkstra

Problem: Kennen  $\tau^*$  nicht

$\Rightarrow$  binäre Suche verwenden, obere Schranke für  $\tau^*$  ist  $(n-1) \cdot \tau_{\max}$

kein Längenbeschränkte Weg für aktuelles  $\tau$  gefunden

$\Rightarrow$  rechts weitersuche

Weg gefunden.  $\Rightarrow$  links weitersuche

$\Rightarrow \log((n-1)\tau_{\max})$  viele Aufrufe von  $\epsilon$ -Schuf für Dijkstra

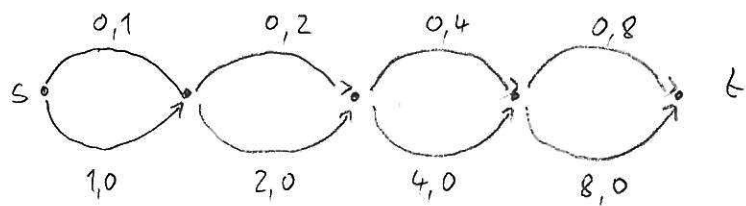
$\Rightarrow$  Laufzeit polynomial in  $n$  und  $\frac{1}{\epsilon}$

Beispiel: van Parelo Dijkstra mit  $L=7$ ,  $\tau^*=8$ ,  $\epsilon=1$

$$\Rightarrow \text{Intervall-Länge} \frac{\tau^*}{(n-1)/\epsilon} = \frac{8}{4} = 2$$

abzudeckendes Intervall  $[0, (1+\epsilon)\tau^*] = [0, 16]$

4-16



$$L = 7$$

$$\tau^x = 8$$

2	2,0	2	2,2	2	2,6	2	-
4		4	4,0	4	4,4	4	
6		6		6	6,2	6	
8		8		8	8,0	8	
						10,6	
						12,4	
						14,2	
						16,0	
							16

← *bester Weg (approx.)*

#### 4.4 Die Zwei-Schritt-Methode von Nehlsen & Ziegelmann [2000]

nutzt Weg-basierte IP-Formulierung und LP-Relaxation

0/1 Variable  $x_p$  für jeden st-Weg  $\tau_p := \sum_{a \in P} \tau_a$ ,  $\ell_p := \sum_{a \in P} l_a$

$\Rightarrow$  Parameter IP:

$$\min \sum \tau_p x_p \quad \leftarrow \tau_p \text{ minimieren}$$

$$\text{unter } \sum_p \ell_p x_p \leq L \quad \leftarrow \text{Längenbeschränkung einhalten}$$

$$\begin{aligned} \sum_p x_p &= 1 \\ x_p &\in \{0,1\} \end{aligned} \quad \leftarrow \begin{array}{l} \text{w. ein zulässiger Weg} \\ \text{in Lösung} \end{array}$$

LP Relaxierung:

$$\min \sum \tau_p x_p$$

$$\vee \text{ unter } -\sum_p \ell_p x_p \geq -L$$

$$u: \quad \sum_p x_p = 1$$

$$x_p \geq 0 \quad \leftarrow x_p \leq 1 \text{ hält in Optimum automatisch ein,} \\ \text{da } \tau_p \geq 0$$

Duales LP:

$$\max u - Lv$$

$$\text{unter } u - \ell_p v \leq \tau_p \quad \forall p$$

$v \geq 0$ ,  $u$  nicht vorzeichenbeschränkt

Ersetzung  $v \rightarrow -v$  ergibt

$$\max u + Lv$$

$$\text{unter } u + \ell_p v \leq \tau_p \quad \forall p$$

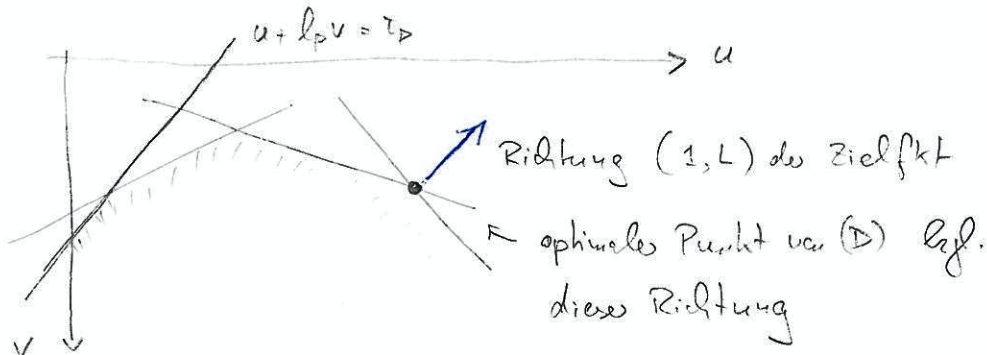
$v \leq 0$   $u$  nicht vorzeichenbeschränkt

(D)

### Standardinterpretation von (D) als 2-dim LP

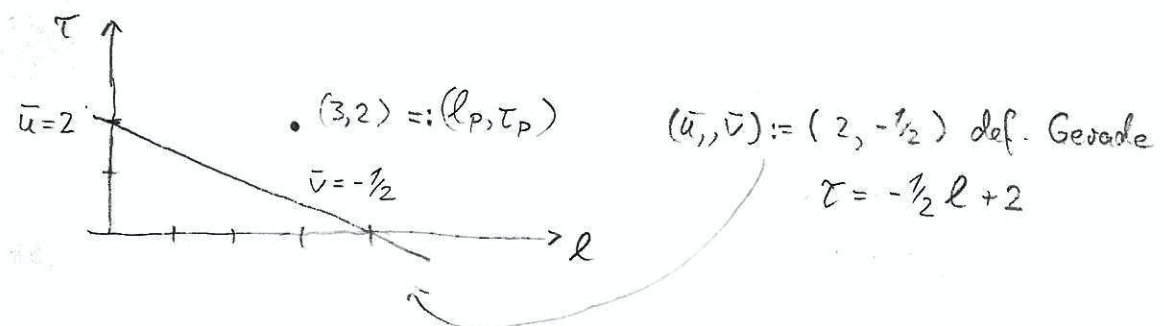
Nebenbedingungen = Halbebenen

Werte der Dualvariablen  $(u, v)$  = Punkte in der Ebene



andere, geometrisch duale Interpretation:

- Paar  $(u, v)$  als Gerade  $\tau = v \cdot l + u$  in der  $(l, \tau)$  Ebene auffassen
- Nebenbedingung  $u + l_p v \leq r_p \Leftrightarrow$  Punkt  $(l_p, r_p)$   $\in$  Plaud  $P$
- Ungleichung  $\bar{u} + l_p \bar{v} \leq r_p$  erfüllt für Werte  $\bar{u}, \bar{v}$  von  $u, v$   
 $\Leftrightarrow (l_p, r_p)$  liegt oberhalb der Geraden  $\tau = \bar{v} l + \bar{u}$

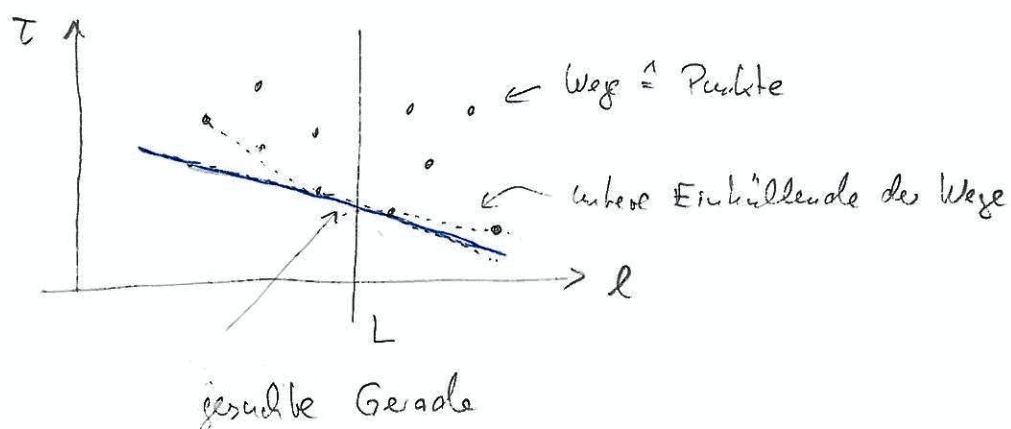


Punkt  $(3, 2)$  liegt oberhalb von  $\tau = -\frac{1}{2} l + 2$

$$\Leftrightarrow 2 \geq \underbrace{-\frac{1}{2} \cdot 3 + 2}_{0.5}$$

- Optimierung  $\hat{=}$  Suche eines Paares  $u^*, v^*$  bzw. einer Geraden  $\tau = v^* \cdot l + u^*$  mit nicht-positiver Steigung ( $v^* \leq 0$ ) so dass:

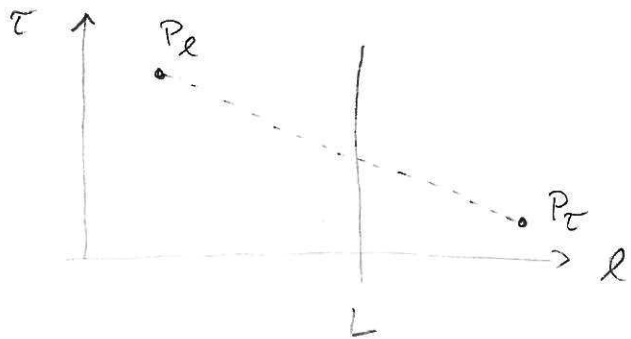
1. alle Punkte  $(l_p, \tau_p) \rightarrow P$  auf Weg, liegen oberhalb dieser Geraden
2. Der Schnittpunkt der Geraden  $\tau = v^* l + u^*$  mit der Geraden  $l = L$  ist so groß wie möglich, dann der Schnittpkt hat den Wert  $v^* L + u^* = \text{Zielkt. von } D$



Konstruktion dieses optimalen Geraden erfolgt mit dem Hüllensatz

Konstruktion der unteren Einhüllenden bei  $l = L$

1. Berechne kürzesten Weg  $P_{l_{\min}}$  bzgl  $l$   
 if  $l(P_{l_{\min}}) > L$  then return "keine zulässige Lösung"  
 else  $UB := \tau(P_{l_{\min}})$ ; //  $UB \hat{=} \text{obere Schranke für optimalen Weg}$
- Berechne kürzesten Weg  $P_{\tau_{\min}}$  bzgl  $\tau$   
 if  $l(P_{\tau_{\min}}) \leq L$  then return  $P_{\tau_{\min}}$  // optimal  
 else  $P_T := P_{\tau_{\min}}$ ;  $P_e := P_{l_{\min}}$  // Initialisierung  $P_T, P_e$   
 //  $P_T$  und  $P_e$  erzeugen erste Gerade  $\tau = \bar{v} \cdot l + \bar{u}$  mit  
 // Steigung  $\bar{v} = \frac{\tau(P_T) - \tau(P_e)}{l(P_T) - l(P_e)} < 0$



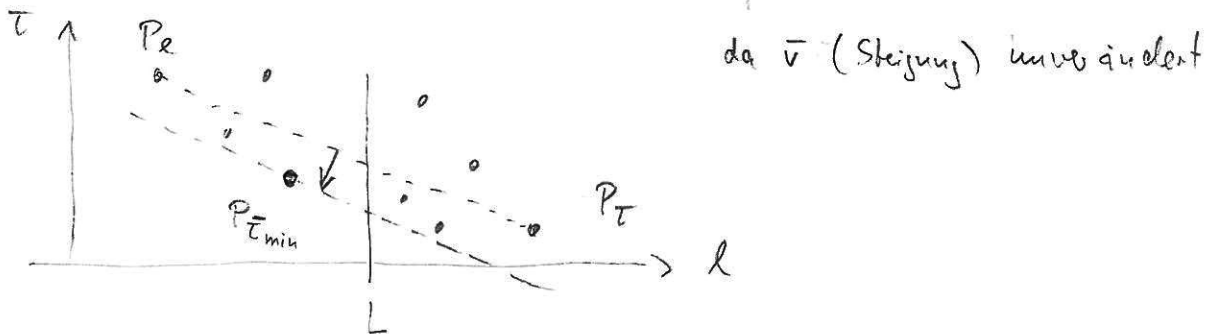
2. Prüfe ob es Punkte unterhalb der Geraden gibt.

Ein solcher Punkt entspricht einem Weg  $P$  mit

$$\bar{v}l_p + \bar{u} > \tau_p \Leftrightarrow \tau_p - \bar{v}l_p < \bar{u}$$

und kann durch kürzeste Wege-Berechnung bzgl.  $\underbrace{\tau_a - \bar{v}l_a}_{\geq 0 \text{ wegen } \bar{v} \leq 0} =: \bar{\tau}_a$  berechnet werden

Graphisch entspricht dies einer Parallelverschiebung der Geraden auf einen extremalen Punkt (den kürzesten Weg)

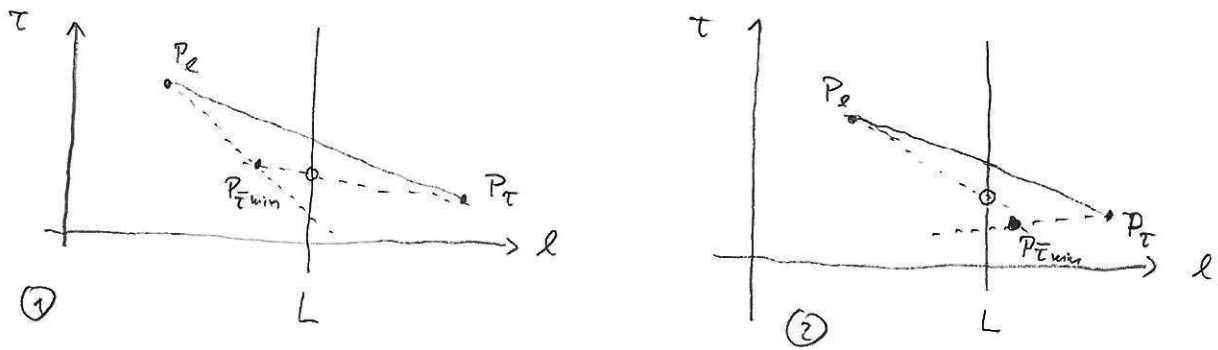


Sei  $P_{\bar{\tau}_{min}}$  der neue Weg/Punkt bzgl.  $\bar{\tau}_a := \tau_a - \bar{v}l_a$

if  $\bar{\tau}(P_{\bar{\tau}_{min}}) = \bar{u} \Rightarrow P_{\bar{\tau}_{min}}$  liegt auf der alten Geraden  
 $\Rightarrow$  alte Gerade ist optimal,  
 Schriftpunkt mit  $l=L$  ist Optimum

else Weitersuchen in 3

3. Aktualisiere die alte Gerade durch eine der beiden Geraden durch  $P_e$  und  $P_{\bar{\tau}_{min}}$  oder  $P_{\bar{\tau}_{min}}$  und  $P_T$



Frage: Welche der beiden Geraden ist besser, d.h. Schnittpunkt ist höher auf L?

hängt offenbar von der Lage des Punktes  $P_{\bar{t} \min}$  ab.

links von L (d.h.  $t(P_{\bar{t} \min}) \leq L$ )  $\Rightarrow$  ① ist besser

rechts von L (d.h.  $t(P_{\bar{t} \min}) > L$ )  $\Rightarrow$  ② ist besser

Fall ①: setze  $P_e := P_{\bar{t} \min}$ ; UB :=  $t(P_{\bar{t} \min})$

und iteriere mit neuer Geraden  $\overline{P_e, P_{\bar{t}}}$

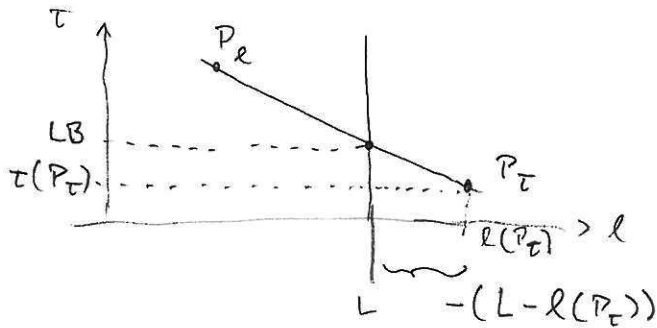
Fall ② setze  $P_{\bar{t}} := P_{\bar{t} \min}$ , UB kann nicht aktualisiert werden  
iteriere mit neuer Geraden  $\overline{P_e, P_{\bar{t}}}$  da  $t(P_{\bar{t} \min}) > L$

Abruch erfolgt in dem Fall, dass die Parallelverschiebung des aktuellen Geraden  $t = \bar{v} \cdot l + \bar{u}$  keine Verbesserung ergibt.

Untere Schranke LB an das Optimum ergibt sich aus

$$LB = \bar{v} \cdot (L - l(P_T)) + r(P_T)$$

mit  $\bar{v}$  = Steigung der neuen Gerade =  $\frac{r(P_T) - r(P_e)}{l(P_T) - l(P_e)}$



Untere Schranke LB an OPT des CSP

"

Opt.-Wert des LP-Relaxations

"

Opt.-Wert des Lagrange-Relaxations, da relaxiertes Problem

in der Lagrange Relaxation ganzzählige Ecken hat

(ist kürzeste Weg Problem, in Kanban Formulierung  
vollständig unimodular)

Insgesamt bleibt also dieselbe "Dualitätslücke" wie bei der  
Lagrange-Relaxation. Allerdings kann die Laufzeit besser  
abgeschätzt werden

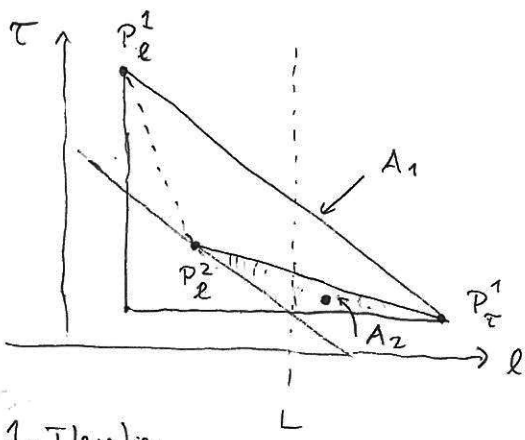
4.4 SATZ (Feldkorn & Ziegelmair 00): Der Hüllensatz arbeitet  
korrekt und hat eine Laufzeit von

$$\underbrace{O(\log(n \tau_{\max} l_{\max}))}_{\# \text{ Iterationen}} \cdot \underbrace{(n \log n + m)}_{\text{kürzeste Wege Berechnung}}$$

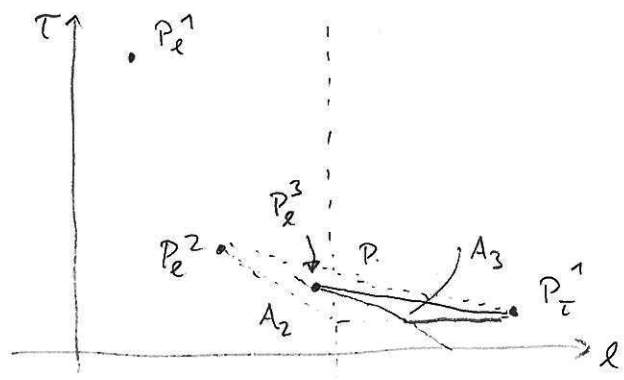
mit  $\tau_{\max} := \max_a \tau_a$ ,  $l_{\max} := \max_a l_a$

Beweis: Korrektheit folgt aus den vorangegangenen Überlegungen

zu Laufzeit: gilt hier, die Größe der "unentdeckten" Gebiete von noch möglichen Punkten unterhalb der momentanen Geraden



1. Iteration



2. Iteration

Zu Beginn können unentdeckte Punkte im Dreieck  $A_1$ . Nach Parallelverschiebung des Gerades  $\overline{P_e^1 P_t^1}$  zum Punkt  $P_e^2$  können unentdeckte Punkte nur noch im Dreieck  $A_2$  liegen

Jetzt wird  $P_e^3$  gefunden und die Fläche verkleinert sich weiter

Fläche eines Dreiecks ist maximal  $\frac{1}{2} \cdot (n \cdot l_{\max}) \cdot (n \cdot t_{\max})$   
und minimal  $\frac{1}{2}$ , da alle Daten ( $\Rightarrow$  Punkte) ganzzahlig sind

Für Iterationen  $i$  und  $i+1$  des Hillerausatzes gilt

$$A_{i+1} \leq \frac{1}{4} A_i$$

AUFGABE 8

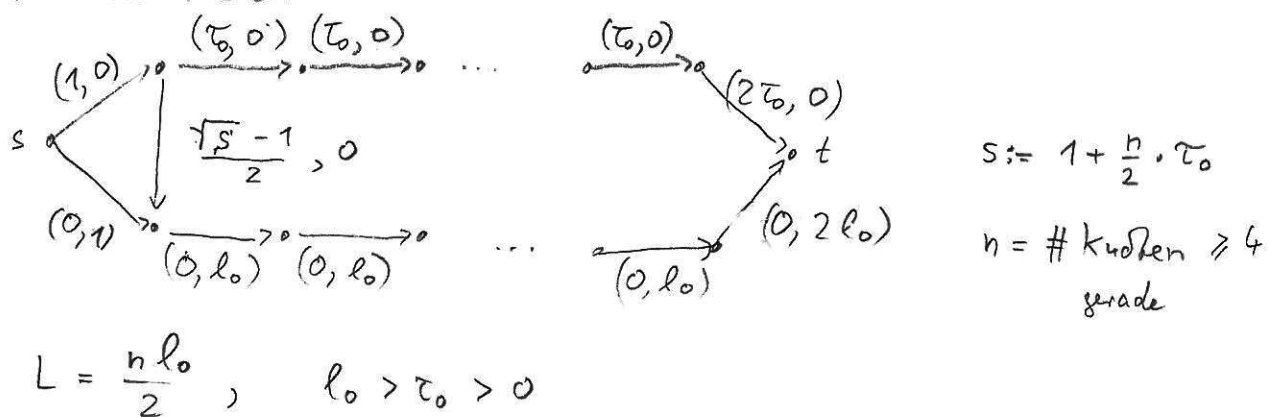
$\Rightarrow$  maximal  $N$  Iterationen bis  $\frac{1}{2} \leq \left(\frac{1}{4}\right)^N \frac{1}{2} n^2 l_{\max} t_{\max}$

$\Rightarrow O(\log(n l_{\max} t_{\max}))$  Iterationen  $\square$

Bemerkung: Kann zeigen dass  $O(m \log^2 m)$  Iterationen reichen  
 (mittlerer O3)  $\Rightarrow$  stark polynomialer Algorithmus

Insgesamt bestimmt der Hüllensatz eine obere Schranke  $UB$   
 und eine untere Schranke  $LB$  für das Optimum des CSP.  
 Die Größe der Schranken kann allerdings z.B. beliebig schlecht werden.

#### 4.5 BEISPIEL:



Hüllensatz findet  $UB = s$  und  $LB = \frac{s}{T}$  mit  $T := 1 + \frac{n}{2} \cdot l_0$

Optimale Kosten liegen bei  $\frac{\sqrt{s} + 1}{2}$

$\Rightarrow$  nur  $\Omega(\sqrt{n \cdot T_0})$  Approximationsgüte ( $\approx$  gilt sich aus  $\frac{OPT}{LB}$ )

**AUFGABE 9!**

Schließen der Lücke zwischen LB und UB:

z.B. durch Pareto Dijkstra, wobei Label  $(\tau, \ell)$  verworfen werden können, wenn  $\tau \geq UB$ ,  $\tau < LB$  oder  $\ell > L$  ist

$\Rightarrow$  wesentliche Beschleunigung, kleinere Labellisten an Knoten und Gesamtaufzeit mit am besten

#### 4.5 Anwendung auf das Constrained System Optimum

$$\min \sum_a \tau_a(x_a(f)) \cdot x_a(f)$$

unter

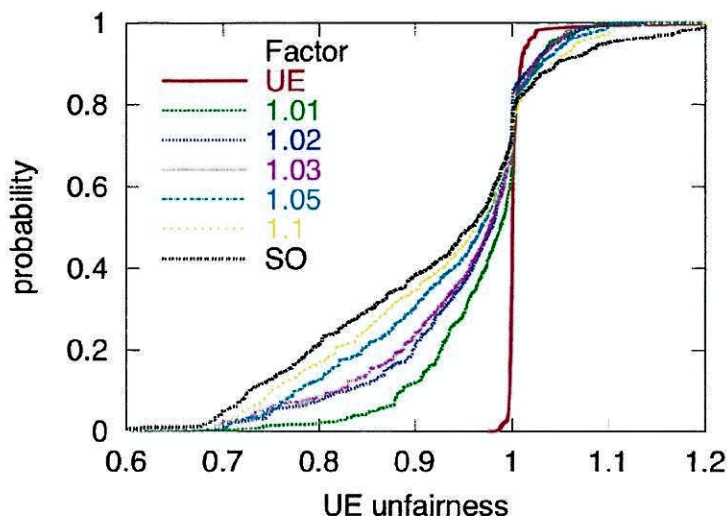
$$\sum_{P \in P_k^E} f_P = d_k$$

$$f_P \geq 0$$

$\rightarrow$  lineares Problem im  
Bereich verfaktur zerfällt  
in  $k$  CSP-Probleme

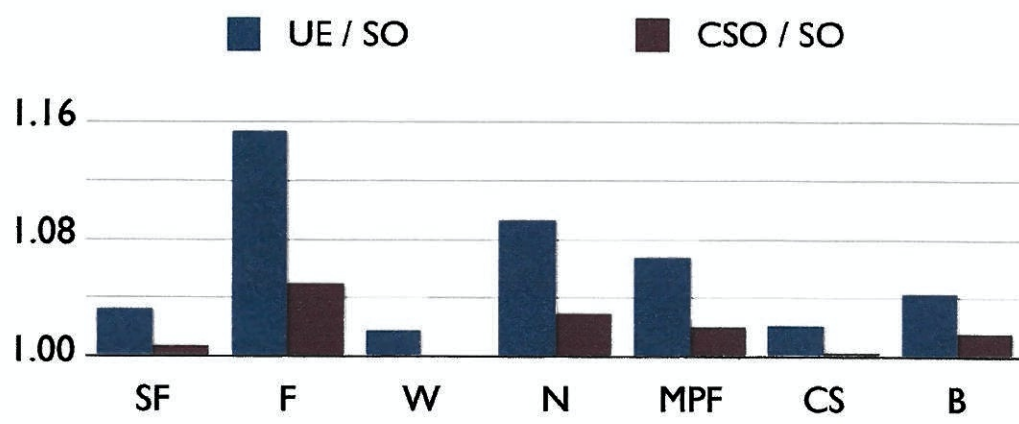
Ergebnisse: Paper Jahn, H., Schulz, Stier  $\rightarrow$  www

## Analysis of fairness



- 75% of the users travel less than in equilibrium
- Only 0.4% of the users travels 10% more than in equilibrium  
in SO mehr als 5%

## Results



*SF* Sioux Fall  
*F* Friedrichshain  
*W* Winnipeg

*N* Neukölln  
*MPF* Berlin Mitte  
*CS* Chicago Sketch

*B* = Berlin